

*Dáns*  
17

*Arch.*

# ZPRÁVY

ÚSTAVU TEORETICKÉ A APLIKOVANÉ MECHANIKY

— ÚTAM — ČSAV —

ČESKOSLOVENSKÁ AKADEMIE VĚD

Ing. Milík TICHÝ :

kandidát technických věd

Měření křivosti ohybové čáry  
při zatěžování nosníku

1

Ing. Richard BAREŠ :

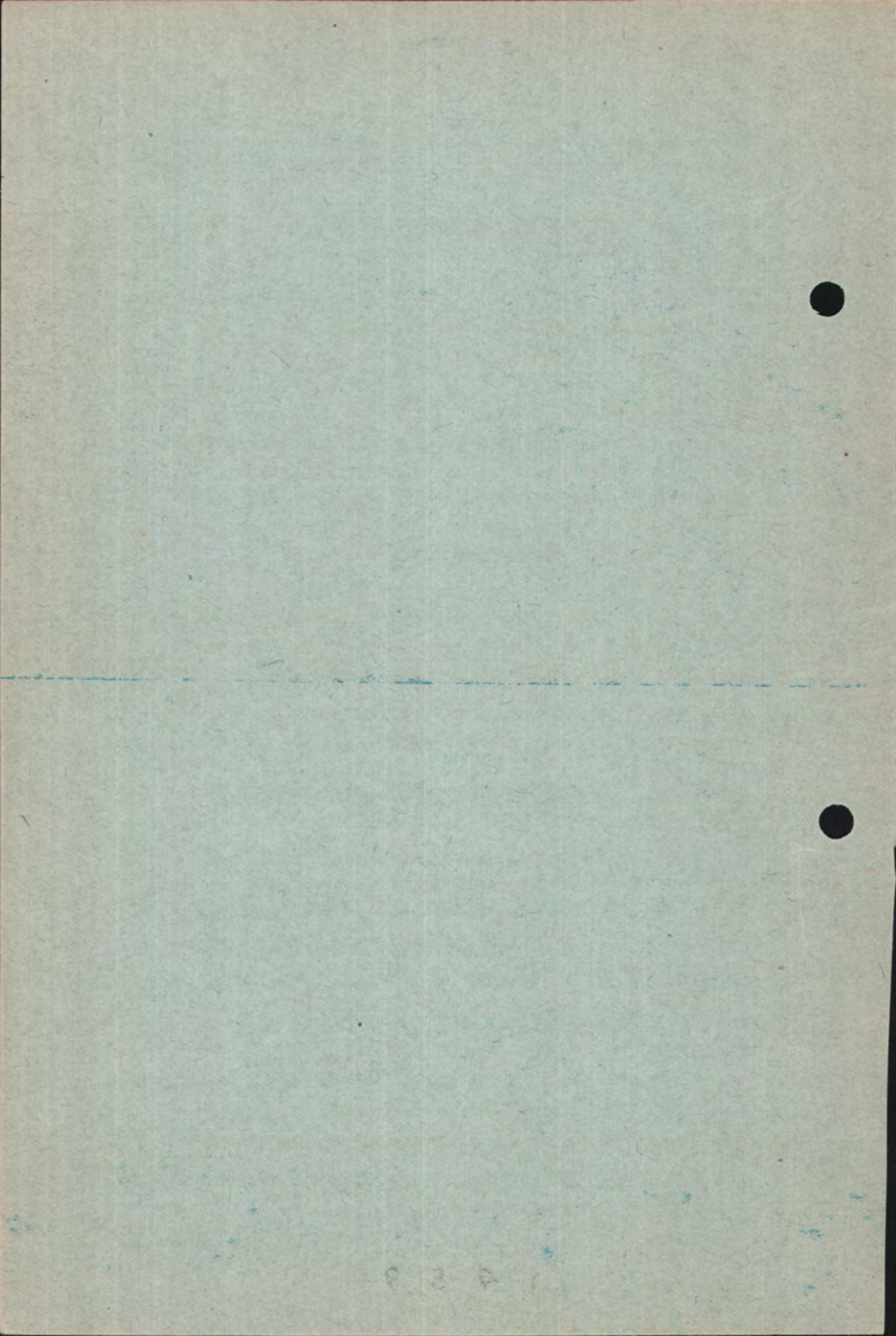
kandidát technických věd

Příčné spolupůsobení prefabri-  
kovaných trámových konstrukcí

30

Výpočet montovaných stropů  
z prefabrikovaných nosníků  
průřezu I s výplněmi ze  
škvárobetonových vložek

65



# VÝPOČET MONTOVANÝCH STROPŮ Z PREFABRIKOVANÝCH NOSNÍKŮ PRŮREZU I S VÝPLNĚMI ZE ŠKVÁROBETONOVÝCH VLOŽEK

Ing. Richard Bareš,  
kandidát technických věd

## 1. Úvod

Pedkladem pro vypracování způsobu výpočtu montovaných stropů z prefabrikovaných nosníků průřezu I s výplněmi ze škvárobetonových vložek byly dvě zatěžovací zkoušky těchto stropních konstrukcí. Z výsledků těchto zkoušek především vyplynulo, že je nutno, ohensemli obdržet výsledky blížící se skutečnosti, uvažovat stropní konstrukci jako celek a nikoliv navrhovat a posuzovat každý nosník samostatně.

Přesný výpočet celé konstrukce není ovšem vzhledem k mnoha nepočítitelným vlivům, zvláště ve spojích jednotlivých prvků možný. Hledat novou metodu výpočtu by proto nemělo v tomto případě smysl.

Poněvadž se celková koncepce těchto stropních konstrukcí blíží ortotropní desce, nabízí se použití některého známého početního postupu. Nejvhodnější metoda bude jistě ta, která poměrně jednoduše, bez velkých matematických nebo početních operací především stanoví součinitela příčného roznašení.

## 2. Určení součinitelů příčného roznašení

Nejvhodnější z metod výpočtu se jeví metoda Guyonova-Massonetova [1] [2], podle které se stanoví součinitelé příčného roznašení jako poměry průhybů jednotlivých nosníků k průměrnému průhybu, který by vznikl při zatištění všech trámů současně týmž zatištěním rozděleným na všechny trámy rovnoměrně. Hodnoty součinitelů jsou závislé na dvou rozměrových parametrech  $\ell$  a  $\alpha$ , pro jejichž různé velikosti jsou sestaveny tabulky [3] příčinkových pořadnic v 9 bozech celkové šířky. Při tom jak souřadnic místa, ve kterém

dech celkové šířky. Při tom jak souřadnic místa, ve kterém účinek hledáme, tak souřadnic působiště břemene se používá poměrově.

Parametr tuhosti v kroucení  $\alpha$  lze podle výsledků zkoušek [4] brát vždy s dostatečnou přesností rovný jedné, tedy  $\alpha = 1$ . Druhý průrezový parametr (příčného ztužení) má tvar

$$\mu = \frac{b}{\ell} \sqrt{\frac{\rho_r}{\rho_p}} \quad (1)$$

kde  $b$  - polovina šířky konstrukce,  $\ell$  - rozpětí,  $\rho_r$  - jednotková ohybová tuhost v podélném směru a  $\rho_p$  - jednotková ohybová tuhost v příčném směru.

Moment setrvačnosti na jednotku délky v podélném směru  $I_r$  se určí za předpokladu, že celý průřez, tj. nosník s polovinou vložky na obou stranách, i s příp. nabetonováním je monolitický. Moment setrvačnosti na jednotku délky v příčném směru bude velmi značně zmenšován tím, že se vložky mohou otáčet po vyčerpání soudržnosti mezi betonem zálivky a jednotlivými prvky, k čemuž dojde již při poměrně nízkých zatíženích. Jak bylo zjištěno, lze předpokládat ohybovou tuhost v příčném směru na délkovou jednotku závislou na hodnotě redukovaného momentu setrvačnosti

$$\frac{I_r}{I_p} = \frac{I_p}{100} \quad (2)$$

kde  $I_p$  je moment setrvačnosti na délkovou jednotku náhradního průřezu stejné výšky jako v konstrukci, avšak bez uvažování otvorů. K rozdílným vlastnostem materiálů není třeba přihlížet a je možno předpokládat stejný modul pružnosti v obou směrech, takže v předchozím vzorci bude pod odmocninou místo poměru tuhostí pouze poměr jednotkových momentů setrvačnosti  $I_r/I_p$ .

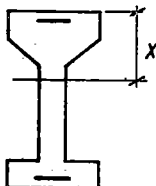
Na příkladě zkoušky ve Veselí nad Lužnicí ukážeme si stručně výpočet součinitele příčného roznášení K podle Guyona-Massonneta. Podstatně názornější je druhý způsob vyjádření součinitele příčného roznášení k podle volného průhybu. Součinitel příčného roznášení k vyjadřuje poměr

průhybů jednotlivých nosníků k volnému průhybu jednoho samostatného nosníku pod týmž zatížením. Převod součinitelů k podle Guyona-Massonneta na součinitele k podle volného průhybu lze obdržet přibližně vydělením prvních počtem trámů.

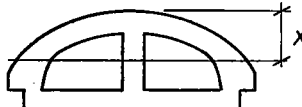
Vyjádřeno v procentech je tedy

$$k\% = \frac{K}{n} \cdot 100. \quad (3)$$

a/ Výpočet v případě bez nabetonování

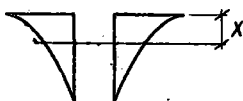


$$\begin{aligned} F &= 262,50 \text{ cm}^2 \\ x &= 16,34 \text{ cm} \\ I &= 30900 \text{ cm}^4 \end{aligned}$$



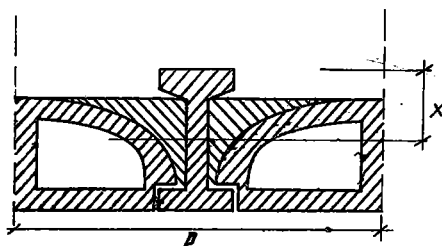
Obr.2.  
Skvárobetonové vložky

$$\begin{aligned} F &= 735 \text{ cm}^2 \\ x' &= 13,8 \text{ cm} \\ x &= 18,3 \text{ cm} \\ I &= 41283 \text{ cm}^4 \end{aligned}$$



Obr.3.  
Betonové klíny  
mezi nosníky a  
vložkami

$$\begin{aligned} F &= 196 \text{ cm}^2 \\ x &= 9,16 \text{ cm} \\ I_T &= 2140 \text{ cm}^4 \end{aligned}$$



Obr.4.  
Celý průřez

$$\begin{aligned} F &= 1193,5 \text{ cm}^2 \\ x &= 16,17 \text{ cm} \\ I_T &= 30900 + 41283 + 2140 + 2 \cdot 1 / 2 \cdot 14,0^2 \\ &\quad \cdot 7^2 + 262,50 \cdot 0,83^2 + 735 \cdot 2,13^2 = \\ &= 87464 \text{ cm}^4. \end{aligned}$$

Jednotkový moment setrvačnosti v podélném směru

$${}^1 I_T = \frac{I_T}{p} = \frac{87464}{60} = 1450 \text{ cm}^3.$$

Jednotkový moment setrvačnosti v příčném směru podle předpokladů dříve uvedených

$${}^1 I_P = 1/12 \cdot 1.24,5^3 = 1228 \text{ cm}^3$$

a po redukci

$${}^1 \bar{I}_P = {}^1 I_P / 100 = 1228 / 100 = 12,28 \text{ cm}^3.$$

Parametr příčného ztužení  $\nu$  při účinné šířce  $2b = 7p = 7 \cdot 60 = 420 \text{ cm}$  a rozpětí  $\ell = 495 \text{ cm}$  vychází

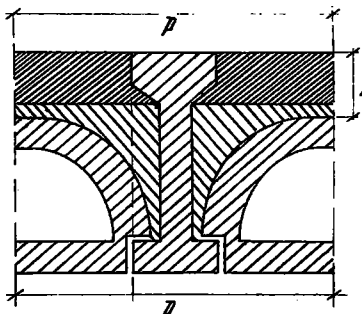
$$\nu = \frac{210}{495} \sqrt{\frac{1450}{12,28}} = 1,395,$$

což přesně souhlasí s hodnotou parametru  $\nu = 1,40$ , který byl zjištěn při zatěžovací zkoušce.

#### b/ Výpočet v případě s nabetonováním

K složkám dříve uvedeným přistupují ještě hodnoty pro vrstvu vyrovnávacího betonu mezi trámy, 4,5 cm tlustou:  $F = 220,5 \text{ cm}^2$ ,  $x = 2,25 \text{ cm}$ ,  $I = 372 \text{ cm}^4$ .

Pro celý průřez obr. 5 je:



$$F = 1414,0 \text{ cm}^2$$

$$x = 13,95 \text{ cm}$$

$$I_T = 30900 + 41283 + 2 \cdot 1 / 36 \cdot 14^4 + \\ + 1 / 12 \cdot 49 \cdot 4,5^3 + 262,50 \cdot 1,39^2 + \\ + 735 \cdot 4,35^2 + 196 \cdot 4,78^2 + \\ + 220,5 \cdot 11,70^2 = 121587 \text{ cm}^4.$$

Obr.5.  
Celý průřez

Jednotkový moment setrvačnosti v podélném směru

$${}^1 I_T = \frac{121587}{60} = 2025 \text{ cm}^3$$

a v příčném směru

$${}^1 I_P = 1/12 \cdot 1 \cdot 29^3 = 2030 \text{ cm}^3,$$

což po redukci dává

$${}^1 \bar{I}_P = \frac{2030}{100} = 20,30 \text{ cm}^3.$$

Pro tyto hodnoty momentů setrvačnosti vychází parametr příčného ztužení

$$\rho = 0,42424 \quad \frac{2025}{20,30} = 1,333,$$

což také dobře souhlasí s hodnotami plynoucími ze zatěžovací zkoušky

Pro hodnoty  $\rho$  takto vypočtené ( $\rho = 1,4$ ) a pro  $K = 1$  nalezneme z Massonnetových tabulek např. pro zatížení uprostřed účinné šířky b tyto hodnoty součinitele příčného roznašení K:

| Průřez | -b     | -3/4 b | -b/2   | -b/4   | 0      | b/4    | b/2    | 3/4 b  | b      |
|--------|--------|--------|--------|--------|--------|--------|--------|--------|--------|
| K      | 0,2309 | 0,4101 | 0,8126 | 1,5538 | 2,2108 | 1,5538 | 0,8126 | 0,4101 | 0,2309 |

Dále pak počítáme již každý nosník samostatně pro část zatížení plynoucí z příčinkové čáry příčného roznašení. Je ovšem otázka, jak spoluúspobí v podélném ohybu vložky a nabetonování. V dalším výkladu provedeme rozbor této otázky a návrh na početní postup.

### 3. Stanovení průřezu působícího v podélném ohybu

Rozhodujícím činitelem při výpočtu napětí nebo deformací je ohybová tuhost EI. Zádnou z obou částí téhoto součinitele nelze však určit tak, aby jejich hodnota odpovídala skutečnosti, a nemá také smysl snažit se určit modul pružnosti nebo moment setrvačnosti samostatně. Budeme proto vždy, pokud to bude možné, určovat pouze součin EI,

čímž získáme spolehlivější podklad pro početní řešení než určováním E a I samostatně.

Pro zatížení dvěma břemeny ve třetinách rozpětí prostého nosníku je průhyb uprostřed

$$y = \frac{M' l^2}{EJ} \quad 0,1065.$$

Známe-li průhyb a zatížení, můžeme určit z této rovnice součin

$$EJ = \frac{M' l^2}{y} \quad 0,1065,$$

přičemž  $M'$  je chybový moment redukovaný podle příčinkové čáry příčného roznašení k, kterou jsme obdrželi ze změřených průhybů a vypočítali v předchozí kapitole.

Pomocí vypočtené tuhosti EI můžeme stanovit křivost

$$\omega = \frac{M'}{EI} .$$

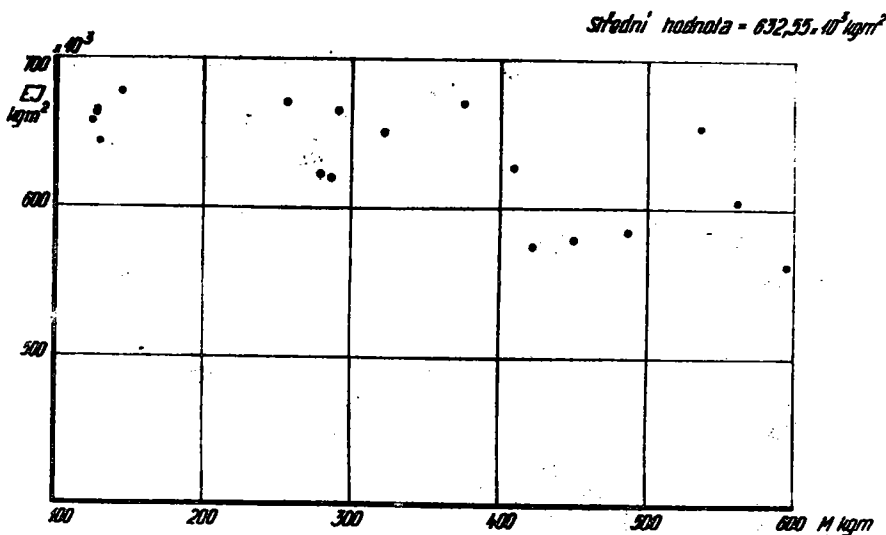
Poněvadž byly měřeny také deformace horních a spodních vláken nosníků, můžeme dále určit polohu neutrálnej osy průřezu. Je-li  $\epsilon_h$  přetvoření horních vláken nosníků, plynne vzdálenost neutrálnej osy od horního povrchu trámů ze vztahu

$$e = \frac{\epsilon_h}{\omega}$$

Uvedeným postupem byly u stropní konstrukce zkoušené ve Veselí n. Luž. zjištěny hodnoty EI a e pro různé zatěžovací stupně při zatížení různých nosníků.

#### a/ Případ bez nabetonování

Hodnoty pro trám přímo zatížený jsou uvedeny v tabulce 1; Průměrná hodnota EI činí  $632,55 \cdot 10^3 \text{ kgm}^2$  a průměrná hodnota e je  $13,91 \text{ cm}$ . Grafické znázornění těchto hodnot v závislosti na velikosti redukovaného chybového momentu M je v obrázcích 6 a 7. Je vidět, že s rostoucím zatížením se součin EI zmenšuje a neutrálnej osa se pohybuje směrem k hornímu povrchu; při tom se blíží jak součin EI, tak poloha neutrálnej osy v mezích dovolených zatížení určité mezní hodnotě, která se procentuálně podstatně neliší od hodnoty střední.



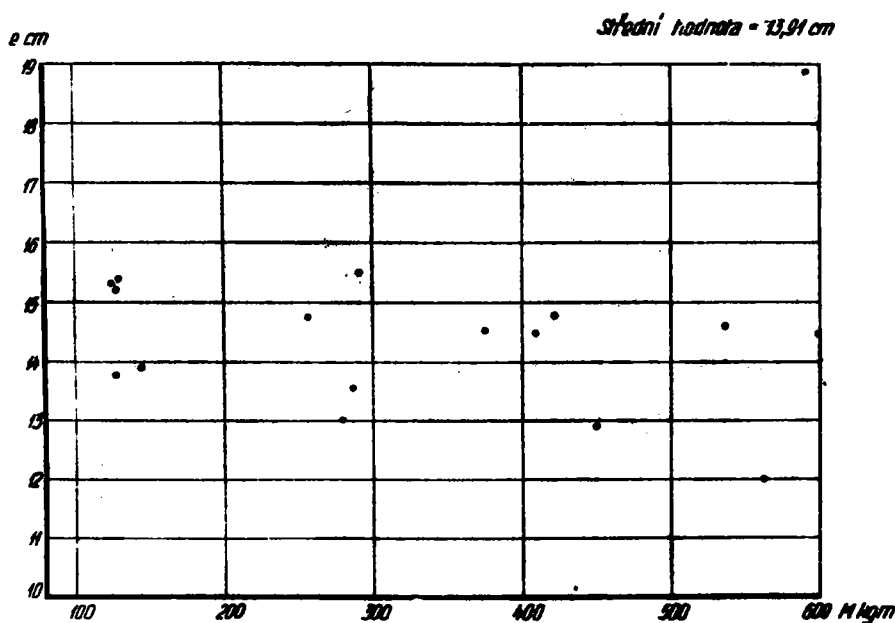
Obr. 6 .  
Ohybová tuhost trámu (EI) bez nabetonování

Přibližně můžeme pro výpočet v pružném oboru, tj. v rozsahu dovolených zatížení, uvažovat střední hodnotu jak součinu  $EI$ , tak i polohy neutrálnej osy  $e$ , aniž se dopustíme větší chyby než při uvažování přesnějšího průběhu v závislosti na velikosti ohybového momentu. Tento předpoklad je oprávněn i z toho důvodu, že není možno postihnout všechny nepřesnosti a odohylky v montovaných prvočích, z materiálu tak různorodého jako v našem případě.

#### b/ Případ s nabetonováním

Průměrná hodnota  $EI$  je  $755,5 \cdot 10^3 \text{ kgm}^2$  a průměrná hodnota  $e$  je  $10,41 \text{ cm}$ . Vliv nabetonované vrstvy mezi nosníky je dosti značný, jak je vidět ze středních hodnot součinu  $EI$  a z polohy neutrálnej osy  $e$ . Součin  $EI$  se proti případu bez nabetonování zvětšil asi o 20 % a neutrálná osa se posunula k hornímu okraji tak, že se její vzdáłość od něho zmenšila proti případu bez nabetonování asi o 25 %. Průběh těchto hodnot je obdobný jako v předešlém pří-

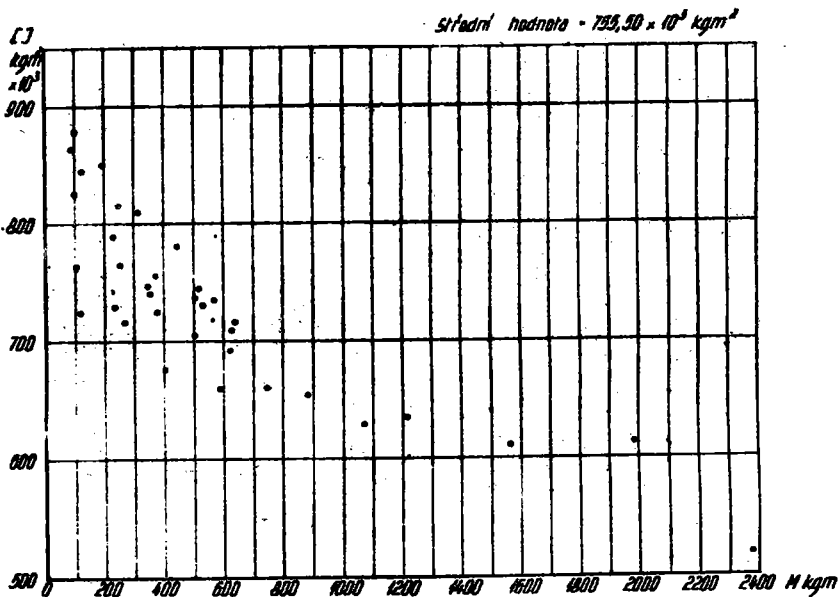
padi. Hodnoty vyčíslené v tabulce 2 jsou v obr. 8 a 9 vyneseny graficky. Opět lze použít přibližně středních hodnot součinu EI a vzdálenost neutrálnej osy e; vliv nabetonování lze jednoduše zahrnout zvětšením součinu EI, resp. zmenšením vzdálenosti neutrálnej osy e od horních vláken trámů asi o 20 až 25 %.



Obr. 7.

Vzdálenost neutrálnej osy (e) bez nabetonování

Správný výpočet napětí nosníků je do značné míry závislý na volbě předpokladů. Na základě rozboru výsledků zatěžovacích zkoušek bylo zjištěno, že pro výpočet napětí je nejlépe předpokládat, že železobetonový průřez (nosník) působí v ohybu celý a z vložek a nabetonování pouze tlačená část, neboť vložky nejsou nijak vzájemně spojeny, a mohou se tedy od počátku zatěžování v tažené části od sebe oddělovat.



Obr. 8.  
Ohybová tuhost trámu (EJ) s nabetonováním

a/ Výpočet v případě bez nabetonování

Z rovnovány statických momentů části průřezu nad neutrálou osou a pod ní, za předpokladu změřených modulů pružnosti

$$E_b \text{ trámů} = 350\ 000 \text{ kg/cm}^2$$

$$E_b \text{ zálivky} = 100\ 000 \text{ "}$$

$$E_b \text{ vložek} = 100\ 000 \text{ "}$$

$$E_a \text{ výztuže} = 2\ 100\ 000 \text{ kg/cm}^2$$

plyne vzdálenost neutrálnej osy od horních vláken nosníků

$$e = 13,25 \text{ cm};$$

moment setrvačnosti vychází

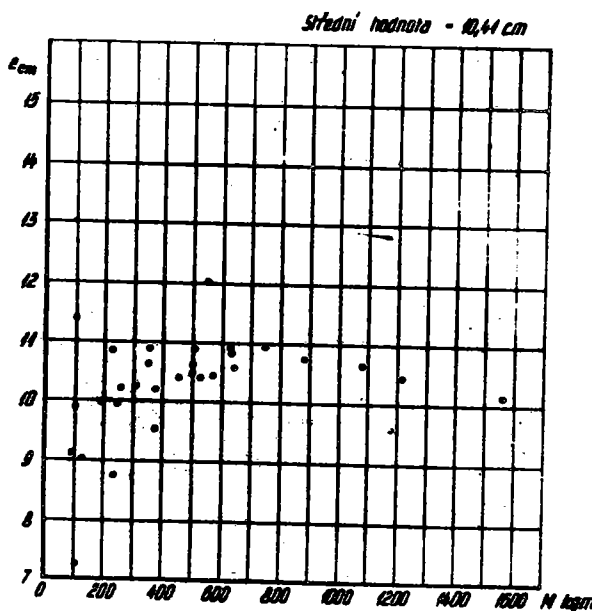
$$I = 17334,4 \text{ cm}^4$$

a součin  $EJ$  ( $E_b = 350\ 000 \text{ kg/cm}^2$ )

$$EI = 607 \cdot 10^3 \text{ kgm}^2.$$

Shoda s naměřenými hodnotami je postačující.

U polohy neutrálnej osy je chyba asi 5 %, což je podstatně méně než chyba střední změřené hodnoty  $e$ , která je asi 25 %. U tuhosti  $EI$  je rovněž chyba asi 5 %; vzhledem k přesnosti určení střední hodnoty je zanedbatelná.



Obr. 9.

Vzdálenost neutrálnej osy ( $e$ ) s nabetonováním

b/ Výpočet v případě s nabetonováním

Za stejných předpokladů jako předešle vychází vzdálenost neutrálnej osy od horních vláken nosníků

$$e = 10,81 \text{ cm.}$$

Moment setrvačnosti I vychází dále

$$I = 22184,55 \text{ cm}^4$$

$$\text{a součin } EI = 775,0 \cdot 10^3 \text{ kgm}^2.$$

Shoda s výsledky měření, vyjádřenými středními hodnotami je opět dobrá; u polohy neutrálnej osy e je zde rozdíl asi 4 %, u součinu EI asi 3 %. Tyto chyby jsou rovněž vzhledem k přesnosti určení střední hodnoty zanedbatelné.

#### 4. Závěr

Známe-li při výpočtu takového konstrukcí součinitel příčného roznášení, jakož i způsob působení průřezu v podélném ohybu, tj. tuhost EI a polohu neutrálnej osy e, snadno již můžeme vypočítat napětí betonu nebo výztuže tramů.

Výpočet příčného roznášení podle Guyona-Massonne-ta je při uvážení správného součinitele  $\mu$ , popř.  $\kappa$  poměrně velmi přesný a hlavně velmi rychlý, kdežto výsledky získané při výpočtu napětí nejsou zcela přesné a mohou být v určitých případech zatíženy podstatnou chybou.

V každém případě nám uvedený způsob výpočtu umožňuje získat názor o napětí jednotlivých prvků stropní konstrukce.

Tabulka 1

| Zati-žený trám | Zatěžo-vací stupeň | Součini-tel příčného roz-nášení k | Reduko-vaný ohybový moment M-kgm | Průhyb y-cm | Tuhost EI. $10^3$ kgm $^2$ | Křivost $\omega \cdot 10^3$ m $^{-1}$ | Poměrná defor-mace horních vlníků $\epsilon \cdot 10^4$ | Neutrálna osa e - cm |
|----------------|--------------------|-----------------------------------|----------------------------------|-------------|----------------------------|---------------------------------------|---|----------------------|
| 4              | 1                  | 0,352                             | 128,0                            | 0,0503      | 663                        | 0,193                                 | 0,266   | 13,77                |
|                | 2                  | 0,365                             | 280,0                            | 0,1779      | 622                        | 0,450                                 | 0,587   | 13,02                |
|                | 3                  | 0,360                             | 409,0                            | 0,1701      | 626                        | 0,653                                 | 0,948   | 14,50                |
|                | 4                  | 0,358                             | 562,5                            | 0,2432      | 604                        | 0,932                                 | 1,120   | 12,00                |
| 3              | 1                  | 0,345                             | 125,2                            | 0,0499      | 658                        | 0,191                                 | 0,292   | 15,30                |
|                | 2                  | 0,336                             | 257,0                            | 0,1000      | 671                        | 0,383                                 | 0,564   | 14,75                |
|                | 3                  | 0,331                             | 376,0                            | 0,1467      | 670                        | 0,561                                 | 0,818   | 14,55                |
|                | 4                  | 0,342                             | 537,0                            | 0,2148      | 653                        | 0,824                                 | 1,206   | 14,62                |
| 2              | 1                  | 0,400                             | 145,0                            | 0,560       | 677                        | 0,214                                 | 0,297   | 13,90                |
|                | 2                  | 0,421                             | 322,0                            | 0,1293      | 650                        | 0,495                                 | 0,555   | 11,90                |
|                | 3                  | 0,428                             | 487,0                            | 0,2180      | 584                        | 0,835                                 | 0,912   | 10,90                |
| 5              | 1                  | 0,358                             | 130,0                            | 0,0529      | 643                        | 0,202                                 | 0,311   | 15,40                |
|                | 2                  | 0,381                             | 292,0                            | 0,1149      | 665                        | 0,440                                 | 0,681   | 15,50                |
|                | 3                  | 0,371                             | 422,0                            | 0,1921      | 574                        | 0,737                                 | 1,090   | 14,80                |
|                | 4                  | 0,380                             | 596,0                            | 0,2767      | 562                        | 1,060                                 | 1,535   | 14,50                |
| 6              | 1                  | 0,352                             | 128,0                            | 0,0505      | 663                        | 0,193                                 | 0,294   | 15,20                |
|                | 2                  | 0,376                             | 287,0                            | 0,1209      | 620                        | 0,463                                 | 0,628   | 13,55                |
|                | 3                  | 0,396                             | 450,0                            | 0,2030      | 579                        | 0,779                                 | 1,002   | 12,90                |

Střední hodnota EI . . . . .  $632,55 \cdot 10^3$  kgm $^2$ 

e . . . . . 13,91 cm

Tabuľka 2

| Zatičený trám | Zatěžovační stupeň | Součinitel příčného rozrášení k | Redukovaný ohybový moment M°-kgm | Průhýb y-cm | Tuhost EI.10 <sup>-3</sup> kgm <sup>2</sup> | Krivosť ω.10 <sup>3</sup> m <sup>-1</sup> | Pomerná deformace horních vláken ε.10 <sup>4</sup> | Neutrálna osa e - cm |
|---------------|--------------------|---------------------------------|----------------------------------|-------------|---|---|--|----------------------|
| 4             | 1                  | 0,248                           | 90,0                             | 0,0272      | 864,0                                       | 0,104                                     | 0,0948   | 9,12                 |
|               | 2                  | 0,254                           | 194,0                            | 0,0595      | 851,0                                       | 0,228                                     | 0,227  | 9,97                 |
|               | 3                  | 0,277                           | 314,0                            | 0,1012      | 810,0                                       | 0,368                                     | 0,398  | 10,25                |
|               | 4                  | 0,290                           | 455,0                            | 0,1525      | 780   | 0,584                                     | 0,606  | 10,40                |
|               | 5                  | 0,294                           | 573,0                            | 0,2035      | 735   | 0,780                                     | 0,815  | 10,45                |
| 3             | 3                  | 0,314                           | 356,0                            | 0,1254      | 740   | 0,481                                     | 0,525  | 10,90                |
|               | 4                  | 0,324                           | 509,0                            | 0,1785      | 744   | 0,685                                     | 0,746  | 10,90                |
|               | 5                  | 0,328                           | 640,0                            | 0,2340      | 715   | 0,895                                     | 0,949  | 10,60                |
| 6             | 1                  | 0,278                           | 101,0                            | 0,0300      | 878   | 0,115                                     | 0,1135   | 9,87                 |
|               | 2                  | 0,324                           | 248,0                            | 0,0793      | 816   | 0,304                                     | 0,303  | 9,95                 |
|               | 3                  | 0,329                           | 374,0                            | 0,1292      | 755   | 0,495                                     | 0,473  | 9,56                 |
|               | 4                  | 0,337                           | 530,0                            | 0,1891      | 730   | 0,726                                     | 0,757  | 10,40                |
| 5             | 1                  | 0,278                           | 101,0                            | 0,0319      | 825   | 0,122                                     | 0,1390   | 11,40                |
|               | 2                  | 0,301                           | 230,0                            | 0,0782      | 798   | 0,292                                     | 0,3170   | 10,85                |
|               | 3                  | 0,306                           | 348,0                            | 0,1217      | 747   | 0,455                                     | 0,495  | 10,63                |
|               | 4                  | 0,319                           | 501,0                            | 0,1773      | 737   | 0,580                                     | 0,7140   | 10,48                |
|               | 5                  | 0,323                           | 630,0                            | 0,2319      | 710   | 0,588                                     | 0,9720   | 10,92                |
| 4             | 2                  | 0,333                           | 255,0                            | 0,0871      | 764   | 0,334                                     | 0,3410   | 10,20                |
|               | 3                  | 0,332                           | 377,0                            | 0,1354      | 726   | 0,519                                     | 0,5300   | 10,20                |
|               | 4                  | 0,320                           | 502,5                            | 0,1865      | 705   | 0,713                                     | 0,7580   | 10,62                |
|               | 5                  | 0,322                           | 628,0                            | 0,2363      | 693   | 0,907                                     | 0,9850   | 10,83                |
|               | 6                  | 0,319                           | 747,0                            | 0,2943      | 662   | 1,128                                     | 1,2350   | 10,95                |
|               | 7                  | 0,322                           | 883,0                            | 0,3508      | 656   | 1,341                                     | 1,4450   | 10,76                |
|               | 8                  | 0,336                           | 1070,0                           | 0,4420      | 631   | 1,592                                     | 1,8050   | 10,65                |
|               | 9                  | 0,336                           | 1220,0                           | 0,5009      | 636   | 1,920                                     | 2,0092   | 10,46                |
|               | 10                 | 0,352                           | 1564,0                           | 0,6675      | 612   | 2,555                                     | 2,5850   | 10,15                |
|               | 11                 | 0,374                           | 1986,0                           | 0,8440      | 615   | 3,230                                     | -  | -                    |
|               | 12                 | 0,388                           | 2380,0                           | 1,1932      | 520   | 4,580                                     | -  | -                    |

Střední hodnoty: EI = 755,50 kgm<sup>2</sup>, e = 10,41 cm

Předloženo: 26.3. 1958.

Lektor:

Prof. Ing. Dr Milan Mencl

Berechnung montierter Decken aus präfabrizierten  
Trägern vom Querschnitt I mit Füllungen aus Schlackenbeton-  
einlagen

Zusammenfassung

Auf Grund von durchgeföhrten Belastungsproben zweier Decken aus präfabrizierten Trägern vom Querschnitt I mit Füllungen aus Schlackenbetoneinlagen wurde eine Berechnungsmethode dieser montierten Konstruktionen ausgearbeitet.

Da die Ergebnisse von Proben zeigten, dass es notwendig ist eine Deckenkonstruktion als Ganzes und nicht als ein System einzelner Träger in Erwägung zu ziehen, wurde für die Berechnung die Guyon-Massonetmethode verwendet, nach welcher die Trägerroste berechnet werden und die von der Voraussetzung ausgeht, dass die Konstruktion sich als eine orthotrope Platte verhält. Durch diese Methode kann man verhältnismässig einfach und mit genügender Genauigkeit den Koeffizienten der Lastverteilung bestimmen in Abhängigkeit von zwei dimensionslosen Querschnittsparametern.

Den Parameter der Querversteifung kann man näherungsweise bestimmen, wenn man das Trägheitsmoment auf die Längeneinheit in der Längsrichtung unter der Voraussetzung erwägt, dass der ganze Querschnitt (Träger, Einlagen und Aufbetonierung) monolithisch ist; das Trägheitsmoment auf die Längeneinheit in Querrichtung kann man ersetzen durch ein Hundertstel des Trägheitsmomentes des Ersatzquerschnittes von gleicher Höhe, jedoch ohne Berücksichtigung der Hohlräume. Dabei braucht man nicht die Unterschiede im Elastizitätsmodul zu berücksichtigen und man kann ihn als gleich in beiden Richtungen annehmen.

Der Parameter der Torsionssteifigkeit kann immer gleich eins genommen werden.

Durchgeföhrte wurde die Berechnung des Koeffizienten der Lastverteilung für eine Konstruktion, welche im

Laboratorium geprüft wurde, und die Ergebnisse wurden mit den gemessenen verglichen.

Im zweiten Teil der Abhandlung wird die Frage der Mitwirkung der Einlagen und der aufbetonierten Schichte in der Längsbiegung analysiert. Es wurde festgestellt, dass es am besten ist, für die Berechnung der Spannung in den Grenzen der Arbeitsbelastungen vorauszusetzen, dass der Eisenbetonquerschnitt (Träger) in der Biegung als Ganzes wirkt und von den Einlagen und der Aufbetonierung nur der unter Druck stehende Teil; dabei muss man verschiedene Elastizitätsmodule berücksichtigen.

Die Angeführte Berechnungsweise ermöglicht es eine Anschauung von der Spannung der einzelnen Elemente der Deckenkonstruktion der erwähnten Art zu gewinnen.

Расчет сборных перекрытий из заготовочных балок сечения I с вкладышами из шлакобетона

Р е з и м е

На основании проведенных испытаний на нагрузку двух перекрытий из заготовленных балок сеч. I с вкладышами из шлакобетона был разработан способ расчета этих сборных конструкций.

Результаты испытаний показали, что конструкция перекрытия следует рассматривать как одно целое, а не как систему отдельных балок. Поэтому для расчета перекрытий был использован метод Гийона-Массонета для расчета составных балок, основанный на предположении, что поведение конструкции аналогично поведению ортотропной пластины. С помощью этого метода сравнительно просто и довольно точно можно определить величину коэффициента поперечной разнотяжки в зависимости от двух безразмерных параметров сечения.

Параметр поперечной связи может быть определен приблизительно, учитывая момент инерции на единицу длины в продольном направлении и предполагая при том, что сечение целиком /балка, прокладка и слой бетона/ можно считать; момент инерции на единицу длины в поперечном направлении может быть заменен сотовой частью момента инерции, заменяющего сечение той же высоты, однако без учета отверстий. Здесь можно пренебречь различиями модуля упругости и предполагать, что они в обоих направлениях одинаковы.

Параметр жесткости при кручении будем принимать всегда равным единице.

Был сделан расчет коэффициента поперечной разноточки для конструкции, испытанной в лабораторных условиях. Полученные результаты были сопоставлены с данными измерений.

Во второй части работы рассматривался вопрос взаимодействия вкладышей и слоя бетона при продольном изгибе. Было обнаружено, что для расчета напряжения лучше всего предполагать в пределах рабочей нагрузки, что воздействие железобетонного сечения /балки/ при изгибе проявляется целиком, в то время как воздействие вкладышей и бетонных слоев проявляется лишь в пределах их сжатой части; при этом следует учитывать различные модули упругости.

Приведенный выше способ расчета дает возможность получить представление о напряжении отдельных элементов конструкции перекрытий такого типа.

L i t e r a t u r a

1. Guyon, Y.: Calcul des ponts larges à poutres multiples solidarisées par des entretoises (Annales des Ponts et Chaussées de France, str. 553-612, 1946).
2. Massonet, Ch.: Méthode de calcul des ponts à poutres multiples tenant compte de leur résistance à la torsion (AIPC Mémoires X., Curych, str. 147 - 182, 1950).
3. Massonet, Ch.: Compléments à la méthode de calcul des ponts à poutres multiples (Annales des travaux publics de Belgique, č. 5, 1954).
4. Bareš, R.: Příčné spolupůsobení trámových konstrukcí (ÚTAM - Praha, dis., říjen 1956).
5. Bareš, R.: Příčné spolupůsobení prefabrikovaných trámových konstrukcí (Zprávy ÚTAM č. 7, 1958, Praha).